

# Μη Παραμετρική Εκτίμηση Συνάρτησης Πυκνότητας Πιθανότητας

- Ιστόγραμμα
- Εκτίμηση με Πυρήνες

## Μη Παραμετρική Στατιστική

Παναγιώτης Παπασταμούλης  
Επίκουρος Καθηγητής  
Τμήμα Στατιστικής ΟΠΑ

[papastamoulis@auerb.gr](mailto:papastamoulis@auerb.gr)

Παρασκευή, 15/05/2020

# Περιεχόμενα

## 1 Εισαγωγή στις μεθόδους εξομάλυνσης

- Ολοκληρωμένο μέσο τετραγωνικό σφάλμα
- Cross validation

## 2 Ιστογραμμα

- Ορισμός
- Ιδιότητες ιστογράμματος
- Επιλογή  $h$  μέσω IMSE
- Η εντολή `hist()` στην R

## 3 Πυρήνες

- Ο απλοϊκός εκτιμητής (boxcar kernel)
- Πυρήνες
- Επιλογή του  $h$  μέσω IMSE
- Η συνάρτηση `density()` στην R
- Επιλογή  $h$  μέσω cross-validated πιθανοφάνειας
- Bootstrap διάστημα εμπιστοσύνης

## 4 Περαιτέρω σχόλια

# Διάφοροι εκτιμητές συνάρτησης πυκνότητας

- Παραμετρικές μέθοδοι
  - ▶ Υποθέτουμε ότι  $f(x) \in \mathcal{F} = \{f(\cdot; \theta); \theta \in \Theta\}$
  - ▶ Αρκεί να εκτιμηθεί το  $\theta$  (πχ: ΕΜΠ, ΑΟΕΔ, EMP κλπ)
- Μη παραμετρικές μέθοδοι
  - ▶ Ιστόγραμμα
  - ▶ Χρήση πυρήνα (kernels)
  - ▶ Άλλες μέθοδοι: splines, ορθογώνιες σειρές, χρήση πολυωνύμων κλπ
  - ▶ Εδώ υποθέτουμε ότι  $f(x)$  «ομαλή»
  - ▶ Θεωρούμε κατάλληλες κλάσεις εκτιμητών που εξαρτώνται από κάποια «παράμετρο εξομάλυνσης»  $h$
  - ▶ Αρκεί να επιλεχθεί η παράμετρος εξομάλυνσης
- Ημιπαραμετρική μέθοδος
  - ▶ Μείξεις κατανομών (mixtures of distributions)
  - ▶ Υποθέτουμε ότι η  $f(x)$  εκφράζεται σαν σταθμισμένος μέσος όρος διάφορων παραμετρικών μοντέλων

- Στο μάθημα θα περιγράψουμε την εκτίμηση μέσω ιστογράμματος και με χρήση πυρήνα
- Στη διάθεσή μας έχουμε ένα τυχαίο δείγμα  $X_1, \dots, X_n$  από την (άγνωστη)  $f(x)$
- Συμβολισμός: εκτιμητής πυκνότητας

$$\hat{f}_{h,n}(x)$$

με παράμετρο εξομάλυνσης  $h$  ο οποίος βασίζεται σε τυχαίο δείγμα μεγέθους  $n$

- Στον συμβολισμό παραλείπουμε να τονίσουμε την εξάρτηση από τα δεδομένα  $(X_1, \dots, X_n)$ :

$$\hat{f}_{h,n}(x) := \hat{f}_{h,n}(X_1, \dots, X_n; x)$$

- $E\hat{f}_{h,n}(x)$  μέση τιμή της  $\hat{f}_{h,n}$  (συνάρτηση του  $x$ )
- $\text{Var}\hat{f}_{h,n}(x)$  διασπορά της  $\hat{f}_{h,n}$  (συνάρτηση του  $x$ )
- Για παράδειγμα, για σταθερό  $x$ :

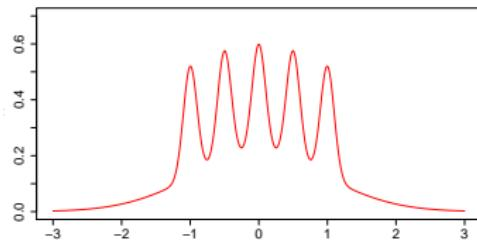
$$\begin{aligned} E\hat{f}_{h,n}(x) &= E\hat{f}_{h,n}(X_1, \dots, X_n; x) \\ &= \int_{-\infty}^{\infty} \cdots \int_{-\infty}^{\infty} \hat{f}_{h,n}(x_1, \dots, x_n; x) \prod_{i=1}^n f(x_i) dx_1 \cdots dx_n \\ &=: \bar{f}_h(x) \quad (\text{Θα δούμε γιατί δεν μπαίνει το } n \text{ ως δείκτης εδώ}) \end{aligned}$$

- Για σταθερά  $x_1, \dots, x_n$  και μεταβλητό  $X$

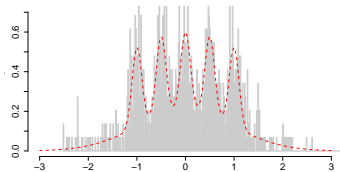
$$\begin{aligned} E\hat{f}_{h,n}(X) &:= E\hat{f}_{h,n}(x_1, \dots, x_n; X) \\ &= \int_{-\infty}^{\infty} \hat{f}_{h,n}(x) f(x) dx. \end{aligned}$$

# Εισαγωγή στην εκτίμηση συνάρτησης πυκνότητας

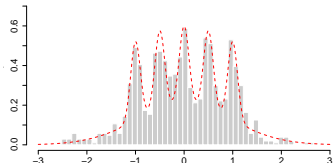
- Παράδειγμα:  $n = 1000$  παρατηρήσεις από  $f(x)$
- Εκτίμηση  $f(x)$  μέσω **ιστογράμματος**  $\hat{f}_{h,n}(x)$  με πλάτος κελιών  $h$
- Το πλάτος κελιών (ισοδύναμα: το πλήθος των κελιών) αποτελεί **παράμετρο εξομάλυνσης** (smoothing parameter)



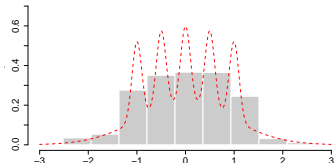
πραγματική  $f(x)$



$\hat{f}_{0.015,n}$ : πολλά κελιά (undersmoothed)



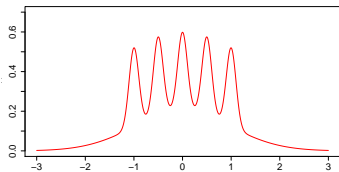
$\hat{f}_{0.104,n}$ : όσα πρέπει



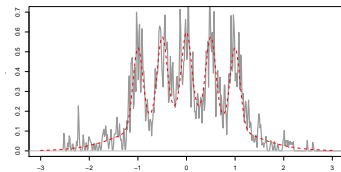
$\hat{f}_{0.575,n}$ : λίγα κελιά (oversmoothed)

# Εισαγωγή στην εκτίμηση συνάρτησης πυκνότητας

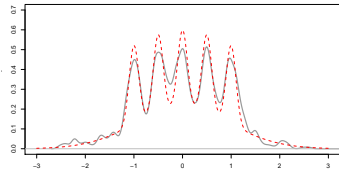
- Παράδειγμα:  $n = 1000$  παρατηρήσεις από  $f(x)$
- Εκτίμηση  $f(x)$  με χρήση (κανονικού) πυρήνα  $\hat{f}_{h,n}(x)$  με bandwidth  $h$



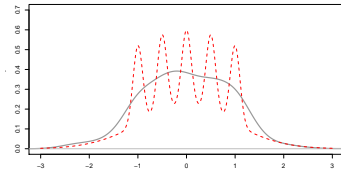
πραγματική  $f(x)$



$\hat{f}_{0.006,n}$ : μικρό  $h$  (undersmoothed)



$\hat{f}_{0.059,n}$ : όσο πρέπει



$\hat{f}_{0.295,n}$ : μεγάλο  $h$  (oversmoothed)

# Παρατηρήσεις

- Κρίσιμη η επιλογή της παραμέτρου εξομάλυνσης
  - Στο ιστόγραμμα είναι το εύρος των κελιών
  - Στον εκτιμητή με χρήση πυρήνα είναι η διασπορά του πυρήνα
- Μεγάλο  $h$ : κρύβονται υπάρχουσες δομές και άρα **αύξηση της μεροληψίας** (oversmoothing)
- Μικρό  $h$ : εμφανίζονται τυχαίες αποκλίσεις ως υπάρχουσες δομές, που οφείλεται στην **μεγάλη διασπορά** του εκτιμητή (undersmoothing)
- Στόχος: επιλογή  $h$  (ούτε πολύ «μικρό» ούτε πολύ «μεγάλο») ώστε να ισοσταθμίζεται η διασπορά και η μεροληψία του εκτιμητή.
- Κατάλληλο κριτήριο: ολοκληρωμένο μέσο τετραγωνικό σφάλμα (Integrated Mean Square Error)
- Τεχνική για την εκτίμησή του: **cross-validation** (διεπικύρωση)

# Κριτήριο σφάλματος

- Μεροληψία

$$\text{bias}(\hat{f}_{h,n}(x)) = \mathbb{E}\hat{f}_{h,n}(x) - f(x)$$

- Διασπορά

$$\text{Var}(\hat{f}_{h,n}(x)) = \mathbb{E}\{\hat{f}_{h,n}(x) - \mathbb{E}\hat{f}_{h,n}(x)\}^2$$

- Μέσο τετραγωνικό σφάλμα (Mean Square Error)

$$\begin{aligned}\text{MSE}(\hat{f}_{h,n}(x)) &= \mathbb{E}\{\hat{f}_{h,n}(x) - f(x)\}^2 \\ &= \text{bias}^2(\hat{f}_{h,n}(x)) + \text{Var}(\hat{f}_{h,n}(x))\end{aligned}$$

- Το MSE όμως αφορά μία συγκεκριμένη τιμή του  $x$
- Πρέπει να λαβουμε υπόψη όλες τις δυνατές τιμές του  $x$
- Ολοκληρωμένο μέσο τετραγωνικό σφάλμα (Mean Integrated Square Error)

## Ορισμός (Ολοκληρωμένο μέσο τετραγωνικό σφάλμα)

Το ολοκληρωμένο μέσο τετραγωνικό σφάλμα της  $\hat{f}_{h,n}(x)$  που χρησιμοποιείται για την εκτίμηση της  $f(x)$  είναι

$$\begin{aligned} \text{IMSE}(\hat{f}_{h,n}(x)) &= \int_{-\infty}^{\infty} \text{MSE}(\hat{f}_{h,n}(x))dx \\ &= \int_{-\infty}^{\infty} \text{bias}^2(\hat{f}_{h,n}(x))dx + \int_{-\infty}^{\infty} \text{Var}(\hat{f}_{h,n}(x))dx \end{aligned} \quad (1)$$

- Το ολοκληρωμένο μέσο τετραγωνικό σφάλμα λαμβάνει υπόψη το MSE για κάθε  $x$
- Ολοκληρώνει ως προς όλες τις δυνατές τιμές ώστε να υπολογιστεί το συνολικό σφάλμα

## Ελαχιστοποίηση του IMSE

Από την (1) έχουμε

$$\begin{aligned} \text{IMSE}(\hat{f}_{h,n}(x)) &= \int_{-\infty}^{\infty} \mathbb{E} \left\{ \hat{f}_{h,n}(x) - f(x) \right\}^2 dx \\ &= \mathbb{E} \left[ \int_{-\infty}^{\infty} \left\{ \hat{f}_{h,n}(x) - f(x) \right\}^2 dx \right] \\ &= \mathbb{E} \left[ \int_{-\infty}^{\infty} \hat{f}_{h,n}^2(x) dx - 2 \int_{-\infty}^{\infty} \hat{f}_{h,n}(x) f(x) dx + \int_{-\infty}^{\infty} f^2(x) dx \right] \end{aligned}$$

Ο τελευταίος όρος δεν εξαρτάται από το  $h$ , οπότε αρκεί να ελαχιστοποιήσουμε την

$$J(h) := \mathbb{E} \left[ \int_{-\infty}^{\infty} \hat{f}_{h,n}^2(x) dx - 2 \int_{-\infty}^{\infty} \hat{f}_{h,n}(x) f(x) dx \right] \quad (2)$$

## Πώς θα εκτιμήσουμε το $J(h)$ ;

- Είναι σαφές ότι το  $J(h)$  είναι άγνωστο
- Οπότε πρέπει πρώτα να εκτιμηθεί και μετά να ελαχιστοποιηθεί ως προς  $h$
- Μία πρώτη ιδέα είναι να χρησιμοποιήσουμε τον εκτιμητή αντικατάστασης

$$\tilde{J}(h) = \int_{-\infty}^{\infty} \hat{f}_{h,n}^2(x) dx - \frac{2}{n} \sum_{i=1}^n \hat{f}_{h,n}(x_i) \quad (3)$$

- Δεν είναι καλός εκτιμητής
- Ο λόγος είναι ότι γίνεται διπλή χρήση των δεδομένων:
  - ➊ Για να εκτιμηθεί το μοντέλο
  - ➋ Για να εκτιμηθεί το μέσο σφάλμα  
⇒ overfitting
- Ο  $\tilde{J}(h)$  είναι μεροληπτικός και πάντα θα υποδεικνύει ότι το μέσο σφάλμα ελαχιστοποιείται για  $h \approx 0$

## Αμερόληπτος εκτιμητής του $J(h)$

- Η **Leave-One-Out Cross Validation** εκτίμηση του  $J(h)$  είναι

$$\hat{J}(h) = \int_{-\infty}^{\infty} \hat{f}_{h,n}^2(x) dx - \frac{2}{n} \sum_{i=1}^n \hat{f}_{h,n-1}^{(-i)}(x_i) \quad (4)$$

- Η  $\hat{f}_{h,n-1}^{(-i)}(x_i)$  είναι η εκτίμηση της πυκνότητας που προκύπτει αφαιρώντας την  $i$  παρατήρηση του δείγματος,  $i = 1, \dots, n$
- Ο  $\hat{J}(h)$  είναι αμερόληπτος εκτιμητής του  $J(h)$

$$E\hat{J}(h) = J(h).$$

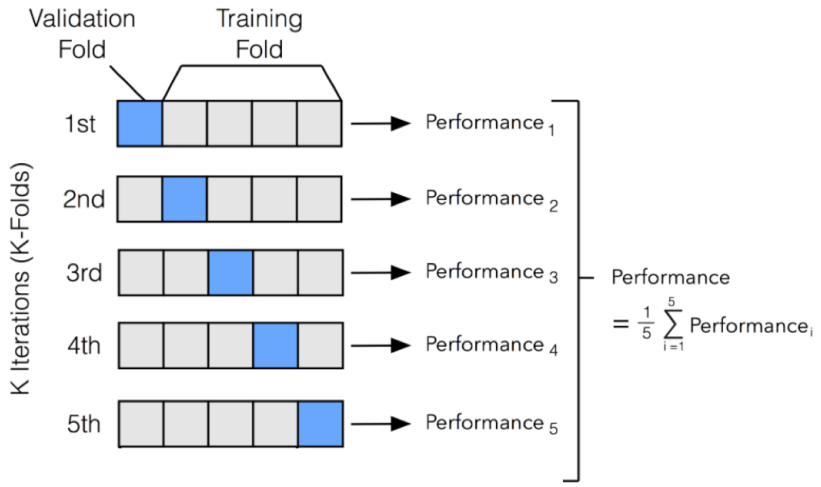
# Cross-validation

- Η ιδέα είναι να εκτιμήσουμε το  $\int_{-\infty}^{\infty} \hat{f}_{h,n}(x)f(x)dx$  με cross-validation
- Τεχνική επαναδειγματοληψίας
- Βασίζεται στην ιδέα χωρισμού του δείγματος σε δύο τμήματα:
  - ▶ ένα για εκτίμηση του μοντέλου
  - ▶ ένα για αξιολόγηση του μοντέλου
- Το πρόβλημα με την παραπάνω τεχνική είναι ότι σπανίως έχουμε επαρκή δεδομένα για να το κάνουμε χωρίς σημαντική απώλεια πληροφορίας

## Cross-validation

- Η μέθοδος cross-validation εφαρμόζει την ιδέα αυτή χωρίζοντας το δείγμα σε  $K$  ομάδες
- Χρησιμοποιεί  $K - 1$  ομάδες για την εκτίμηση
- Το μοντέλο αξιολογείται μέσω της ομάδας που έμεινε εκτός
- Η διαδικασία επαναλαμβάνεται για κάθε μία ομάδα που μένει εκτός ( $K$  φορές)
- Το αποτέλεσμα προκύπτει σαν μέσος όρος όλων αυτών των επαναλήψεων

# $K$ -fold cross validation<sup>1</sup>



<sup>1</sup>εικόνα από <http://ethen8181.github.io>

## Πόσες ομάδες;

- Τυπικές επιλογές είναι  $K = 5, 10$  και  $n$
- Όταν  $K = n$  η τεχνική ονομάζεται Leave-One-Out Cross Validation (LOOCV)
  - Σε αυτήν την περίπτωση αφήνουμε 1 παρατήρηση εκτός και το μοντέλο εκτιμάται βάσει  $n - 1$  παρατηρήσεων
  - Η παρατήρηση που έμεινε εκτός χρησιμοποιείται για την αξιολόγηση του μοντέλου
  - Επαναλαμβάνουμε αυτήν την διαδικασία  $n$  φορές, κάθε φορά αφήνοντας και μία διαφορετική παρατήρηση εκτός
  - Υπολογίζουμε τον μέσο όρο όλων των  $n$  εκτιμήσεων
- Υπό αυτήν την οπτική η τεχνική LOOCV «μοιάζει» με το jackknife, αλλά δεν είναι το ίδιο:
  - Το jackknife χρησιμοποιείται για εκτίμηση ενός μοντέλου
  - Το cross validation χρησιμοποιείται για να εξετάσουμε πόσο καλό είναι ένα εκτιμηθέν μοντέλο

Εκτίμηση  $f(x)$  μέσω ιστογράμματος

## Ιστόγραμμα

- Έστω  $X_1, \dots, X_n$  τ.δ από κατανομή με συνάρτηση πυκνότητας πιθανότητας  $f(x)$ .
- Έστω ότι τα παρατηρηθέντα δεδομένα ανήκουν εντός του διαστήματος  $[a, b]$
- Έστω  $m \in \mathbb{Z}_+$  και η διαμέριση του  $[a, b]$  σε  $m$  κελιά  $B_1, \dots, B_m$
- Το μήκος κάθε κελιού ισούται με

$$h = \frac{b - a}{m}$$

- Έστω

$$n_j = \{\#X_i : X_i \in B_j\} \quad (5)$$

$$\hat{p}_j = \frac{n_j}{n} \quad (6)$$

$$p_j = \int_{B_j} f(x) dx \quad (7)$$

για  $j = 1, \dots, m.$

## Ορισμός

*H συνάρτηση*

$$\begin{aligned}\hat{f}_{h,n}(x) &= \sum_{j=1}^m \frac{\hat{p}_j}{h} I\{x \in B_j\} \\ \hat{f}_{h,n}(x) &= \frac{\hat{p}_j}{h}, \quad x \in B_j\end{aligned}\tag{8}$$

Λέγεται εκτιμητής πυκνότητας με χρήση ιστογράμματος με πλάτος κελιών (παράμετρος εξομάλυνσης)  $h > 0$ .

## Θεώρημα

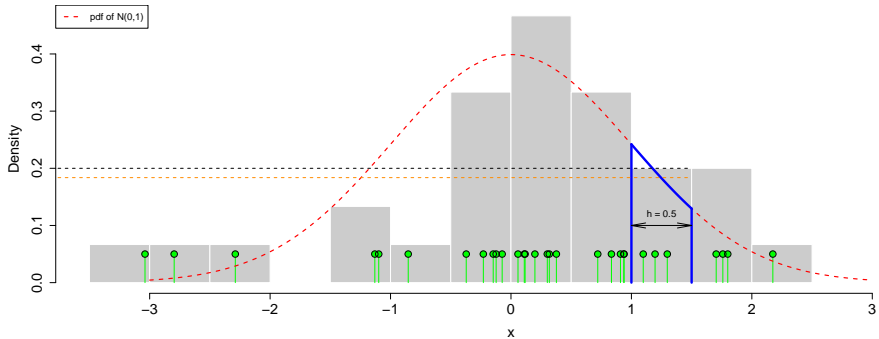
Για σταθερά  $h$  και  $x$  ισχύει ότι

$$\text{E} \hat{f}_{h,n}(x) = \frac{p_j}{h}$$
$$\text{Var} \hat{f}_{h,n}(x) = \frac{p_j(1-p_j)}{nh^2},$$

όπου  $p_j = \int_{B_j} f(x)dx$ .

- Η απόδειξη προκύπτει άμεσα διότι:  $n_j \sim \mathcal{B}(n, p_j)$
- Το ιστόγραμμα είναι *αμερόληπτος εκτιμητής της μέσης πυκνότητας* σε κάθε κελί
- Αυτό δεν είναι το ίδιο με έναν αμερόληπτο εκτιμητή της  $f$  (εκτός αν  $f$  σταθερή στα  $B_j$ )
- Αν  $f$  δεν είναι σταθερή στο  $B_j$ , η  $\hat{f}_{h,n}$  είναι μεροληπτική.

# Παράδειγμα: $n = 30$ παρατηρήσεις από $\mathcal{N}(0, 1)$



- $B_1 = [-3.5, -3), \dots, B_{12} = [2, 2.5)$  (πλάτος:  $h = 0.5$ )
- Για  $x \in B_{10}$ :  $\hat{f}_{h,n}(x) = \frac{\hat{p}_{10}}{h} = \frac{n_{10}/n}{h} = \frac{3/30}{0.5} = 0.2$
- $p_{10} = P(X \in B_{10}) = \int_{-1.5}^{1.5} f(x)dx \approx 0.092$
- Μέση πυκνότητα στο  $B_{10}$ :  $p_{10}/h = 0.184$

## Ιδιότητες ιστογράμματος

Υπό κάποιες συνθήκες ομαλότητας στην  $f(x)$  μπορεί να δειχθεί ότι

$$\text{bias } \hat{f}_{h,n}(x) \approx \frac{1}{2} f'(x)[h - 2(x - b_{j-1})]$$

$$\text{Var } \hat{f}_{h,n}(x) \approx \frac{f(x)}{nh}$$

$$\text{IMSE } \hat{f}_{h,n}(x) \approx \frac{h^2}{12} \int_{-\infty}^{\infty} f'^2(x) dx + \frac{1}{nh}$$

- Τα παραπάνω αποτελέσματα ισχύουν προσεγγιστικά
- Υπάρχουν κάποιες επί πλέον μικρότερες ποσότητες<sup>2</sup> στα δεξιά μέλη που αγνοούνται για λόγους ευκολίας
- Παρατηρήστε ότι η μεροληψία της  $\hat{f}_{h,n}$  δεν εξαρτάται από το  $n$
- Καθώς αυξάνει το  $h$  μεγαλώνει η μεροληψία
- Καθώς μικραίνει το  $h$  μεγαλώνει η διασπορά

<sup>2</sup>δες σελίδες 74-75 σημειώσεων Ιωαννίδη

# Συνέπεια ιστογράμματος

Το ιστόγραμμα είναι ασυμπτωτικά συνεπής εκτιμητής της  $f(x)$

## Θεώρημα

Έστω ότι  $f(x)$  συνεχής στο  $x$  και  $|f'(x)| < M$ . Τότε για  $h \rightarrow 0$  και  $nh \rightarrow \infty$  καθώς  $n \rightarrow \infty$  ισχύει ότι

$$\hat{f}_{h,n}(x) \xrightarrow{\text{P}} f(x).$$

- Η συνθήκη  $h \rightarrow 0$  εξασφαλίζει ότι η μεροληψία της  $\hat{f}_{h,n}$  τείνει στο 0
- Η συνθήκη  $nh \rightarrow \infty$  εξασφαλίζει ότι η διασπορά της  $\hat{f}_{h,n}$  τείνει στο 0

## Επιλογή του $h$ στο ιστόγραμμα

### Πρόταση

$H$  cross-validation εκτίμηση (4) του  $J(h)$  (2) για ιστόγραμμα με πλάτος κειμιών  $h$  είναι ίση με

$$\widehat{J}(h) = \frac{2}{h(n-1)} - \frac{n+1}{h(n-1)} \sum_{j=1}^m \hat{p}_j^2. \quad (9)$$

## Απόδειξη της (9)

Αρχικά, να παρατηρήσουμε ότι για το ιστόγραμμα ισχύει ότι

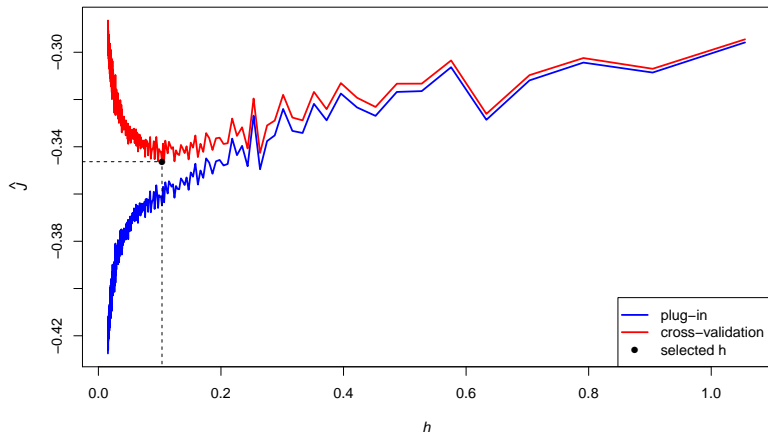
$$\begin{aligned}\hat{f}_{h,n-1}^{(-i)}(x_i) &= \frac{n_{j_i} - 1}{h(n-1)} \\ &= \frac{n}{n-1} \frac{n_{j_i} - 1}{hn} \\ &= \frac{n}{n-1} \left( \frac{n_{j_i}}{hn} - \frac{1}{hn} \right) \\ &= \frac{n}{n-1} \left( \frac{\hat{p}_{j_i}}{h} - \frac{1}{hn} \right)\end{aligned}\tag{10}$$

όπου  $j_i := \{j = 1, \dots, m : x_i \in B_j\}$ .

## Απόδειξη της (9)

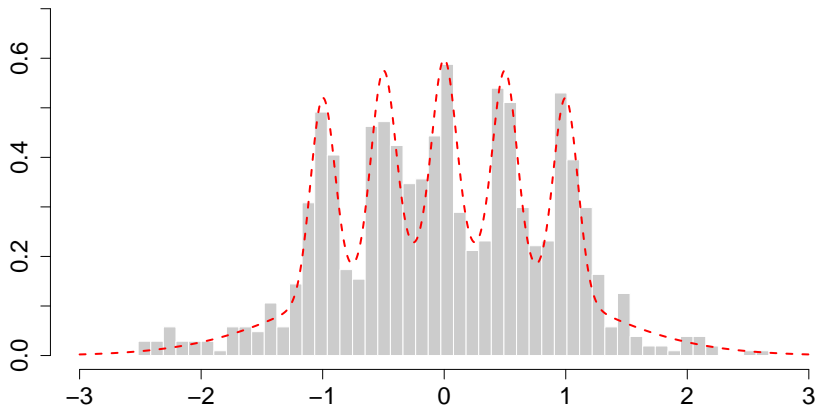
$$\begin{aligned}\widehat{J}(h) &= \int \hat{f}_{h,n}^2(x) dx - 2 \sum_{i=1}^n \frac{1}{n} \hat{f}_{h,n-1}^{(-i)}(x_i) \\&= \sum_{j=1}^m \int_{B_j} \hat{f}_{h,n}^2(x) dx - \frac{2}{n} \sum_{i=1}^n \hat{f}_{h,n-1}^{(-i)}(x_i) \\&= \sum_{j=1}^m \int_{B_j} \frac{\hat{p}_j^2}{h^2} dx - \frac{2}{n} \sum_{i=1}^n \frac{n}{n-1} \left( \frac{\hat{p}_{j_i}}{h} - \frac{1}{hn} \right) \\&= \frac{2}{h(n-1)} + \frac{1}{h} \sum_{j=1}^m \hat{p}_j^2 - \frac{2}{h(n-1)} \sum_{i=1}^n \hat{p}_{j_i} \\&= \frac{2}{h(n-1)} + \frac{1}{h} \sum_{j=1}^m \hat{p}_j^2 - \frac{2}{h(n-1)} \sum_{j=1}^m \sum_{i:x_i \in B_j} \hat{p}_j \\&= \frac{2}{h(n-1)} + \frac{1}{h} \sum_{j=1}^m \hat{p}_j^2 - \frac{2}{h(n-1)} \sum_{j=1}^m n \hat{p}_j^2 \\&= \frac{2}{h(n-1)} - \frac{n+1}{h(n-1)} \sum_{j=1}^m \hat{p}_j^2.\end{aligned}$$

## Παράδειγμα: Bart Simpson ( $n = 1000$ )



- Ελάχιστοποίηση εκτιμηθέντος μέσου σφάλματος (9) μέσω **cross-validation**:  $\hat{J}(h) \approx -0.346$  για  $h \approx 0.104$
- Παρατηρήστε ότι για τον εκτιμητή αντικατάστασης (3) το βέλτιστο  $h \rightarrow 0$  (αναμενόμενο)

## Παράδειγμα: Bart Simpson ( $n = 1000$ )



- Εκτίμηση  $f(x)$  με ιστόγραμμα  $\hat{f}_{h,n}(x)$  με παράμετρο εξομάλυνσης  $h = 0.104$
- Πρόκειται για το βέλτιστο εύρος κελιών βάσει του ολοκληρωμένου μέσου τετραγωνικού σφάλματος

## Η εντολή `hist()` στην R

- Οι τιμές `f$density` επιστρέφουν τις τιμές  $\frac{\hat{p}_j}{h}$
- Προσοχή: το πλήθος των κελιών δεν επιλέγεται μέσω του κριτηρίου που περιγράφαμε
- Μέσω του ορίσματος `breaks` = ... μπορούμε να ορίσουμε τα κελιά

```
> x <- rnorm(20)
> h <- hist(x, freq = F)
> h$density
[1] 0.1 0.4 0.7 0.3 0.4 0.1
> h <- hist(x, breaks = c(-2,-1,0,1,2), freq = F)
> h$density
[1] 0.05 0.55 0.35 0.05
```

Εκτίμηση συνάρτηση πυκνότητας με χρήση πυρήνα

# Εισαγωγή

- Έστω συνεχής τυχαία μεταβλητή  $X$  με συνάρτηση πυκνότητας πιθανότητας  $f(x)$  και συνάρτηση κατανομής  $F(x)$ ,  $x \in \mathbb{R}$ .
- Εξ ορισμού

$$f(x_0) = \lim_{h \rightarrow 0} \frac{P(x_0 - h < X < x_0 + h)}{2h} \quad (11)$$

- Διότι

$$\begin{aligned} \lim_{h \rightarrow 0} \frac{P(x_0 - h < X < x_0 + h)}{2h} &= \lim_{h \rightarrow 0} \frac{F(x_0 + h) - F(x_0 - h)}{2h} \\ &= \frac{1}{2} \left( \lim_{h \rightarrow 0} \frac{F(x_0 + h)}{h} - \lim_{h \rightarrow 0} \frac{F(x_0 - h)}{h} \right) \\ &= \frac{1}{2} \left( \lim_{h \rightarrow 0} \frac{F(x_0 + h) - F(x_0)}{h} - \lim_{h \rightarrow 0} \frac{F(x_0 - h) - F(x_0)}{h} \right) \\ \text{Θέτω } \ell = -h &\quad \frac{1}{2} \left( \lim_{h \rightarrow 0} \frac{F(x_0 + h) - F(x_0)}{h} + \lim_{\ell \rightarrow 0} \frac{F(x_0 + \ell) - F(x_0)}{\ell} \right) \\ &= \frac{1}{2} (F'(x_0) + F'(x_0)) = f(x_0). \end{aligned}$$

# Εισαγωγή

- Δειγματικό «ανάλογο» της (11) δοθέντος τυχαίου δείγματος μεγέθους  $n$

$$\widehat{f}_{n,h}(x_0) = \frac{1}{n} \frac{\# \text{ παρατηρήσεων στο διάστημα } (x_0 - h, x_0 + h)}{2h} \quad (12)$$

όπου  $h > 0$  είναι παράμετρος εξομάλυνσης (smoothing parameter).

- Ο παραπάνω εκτιμητής ονομάζεται απλοϊκός (naive)
- Επειδή μοιάζει και με κουτάκι που διανύει τον οριζόντιο άξονα, ένα άλλο όνομα είναι boxcar

## Απλοϊκός εκτιμητής (boxcar, naive)

- Έστω  $X_1, \dots, X_n$  τυχαίο δείγμα από κάποια κατανομή με συνάρτηση πυκνότητας πιθανότητας  $f(x)$ .

### Ορισμός

*H συνάρτηση*

$$\widehat{f}_{h,n}(x) = \frac{1}{n} \sum_{i=1}^n \frac{\text{I}\{|X_i - x| \leq h\}}{2h}, \quad x \in \mathbb{R} \quad (13)$$

ονομάζεται απλοϊκός εκτιμητής με παράμετρο εξομάλυνσης  $h > 0$  της συνάρτησης πυκνότητας  $f(x)$ .

## Εναλλακτική έκφραση

- Ο απλοϊκός εκτιμητής (13) γράφεται ισοδύναμα

$$\widehat{f}_{h,n}(x) = \frac{1}{nh} \sum_{i=1}^n K\left(\frac{x - X_i}{h}\right), \quad x \in \mathbb{R} \quad (14)$$

όπου

$$K(u) := \frac{1}{2} I\{|u| \leq 1\}$$

- Παρατηρήστε ότι η  $K(u)$  είναι η συνάρτηση πυκνότητας της  $\mathcal{U}(-1, 1)$
- Η  $K(u)$  είναι ένα παράδειγμα αυτού που θα ορίσουμε στη συνέχεια ως πυρήνα (kernel).
- Η  $K(u)$  ονομάζεται **απλοϊκός πυρήνας** (boxcar kernel).
- Η (14) λέγεται **εκτιμητής πυκνότητας απλοϊκού πυρήνα με παράμετρο εξομάλυνσης  $h$**  (boxcar kernel density estimator with bandwidth  $h$ ).
- Θα δούμε ότι υπάρχουν και άλλες επιλογές για την μορφή του πυρήνα.

# Παράδειγμα 1

- Έστω τυχαίο δείγμα

$$x = (-0.07, -1.36, -0.75, -0.12, 0.56, -0.94, 0.08, 1.09, 2.16, -0.82)$$

- Να εκτιμηθεί η  $f(-1)$  με τον απλοϊκό εκτιμητή και παράμετρο εξομάλυνσης  $h = 0.5$  και  $h = 1$
- Έχουμε  $n = 10$  και  $x = 1$

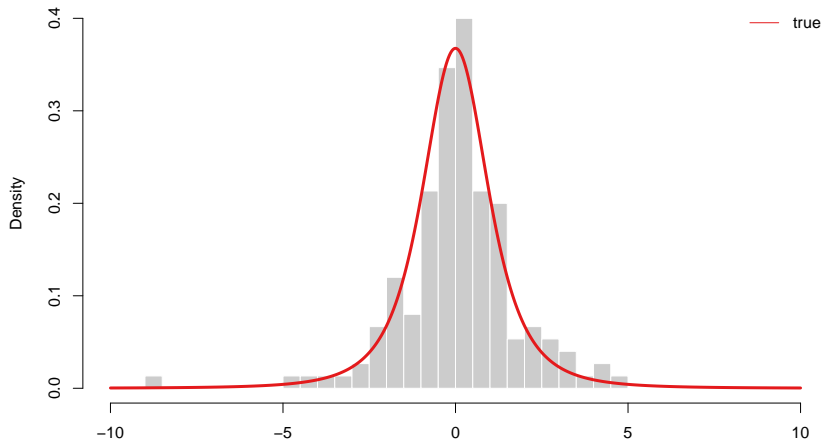
$$\widehat{f}_{10,h}(1) = \frac{1}{10} \sum_{i=1}^{10} \frac{\text{I}\{|x_i - 1| \leq h\}}{2h}$$

- Για  $h = 0.5$ :  $\sum_{i=1}^{10} \text{I}\{|x_i - 1| \leq 0.5\} = 2 \Rightarrow \widehat{f}_{10,0.5}(1) = \frac{1}{10} \frac{2}{2 \times 0.5} = 0.2$
- Για  $h = 1$ :  $\sum_{i=1}^{10} \text{I}\{|x_i - 1| \leq 1\} = 3 \Rightarrow \widehat{f}_{10,1}(1) = \frac{1}{10} \frac{3}{2 \times 1} = 0.15$

## Παράδειγμα απλοϊκών εκτιμητών: 2

$n = 150$  παρατηρήσεις από  $t_3$

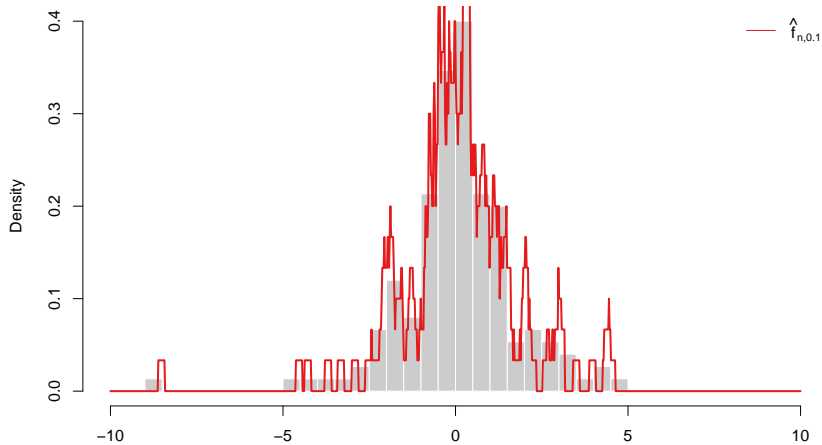
πραγματική συνάρτηση πυκνότητας



## Παράδειγμα απλοϊκών εκτιμητών: 2

$n = 150$  παρατηρήσεις από  $t_3$

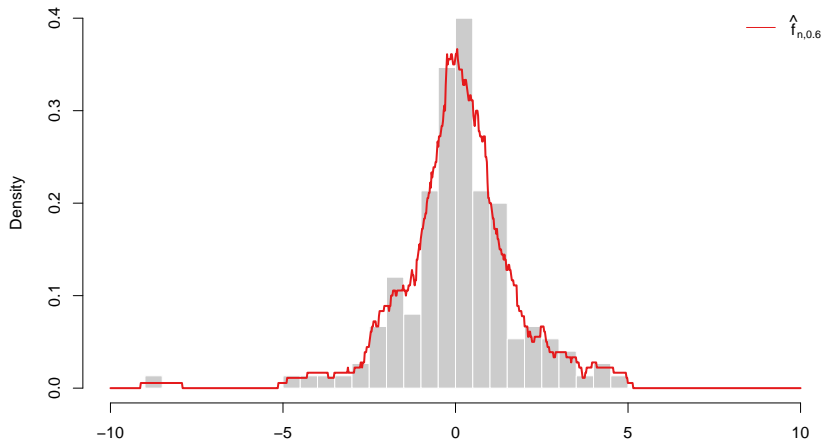
boxcar με παράμετρο εξομάλυνσης  $h = 0.1$



## Παράδειγμα απλοϊκών εκτιμητών: 2

$n = 150$  παρατηρήσεις από  $t_3$

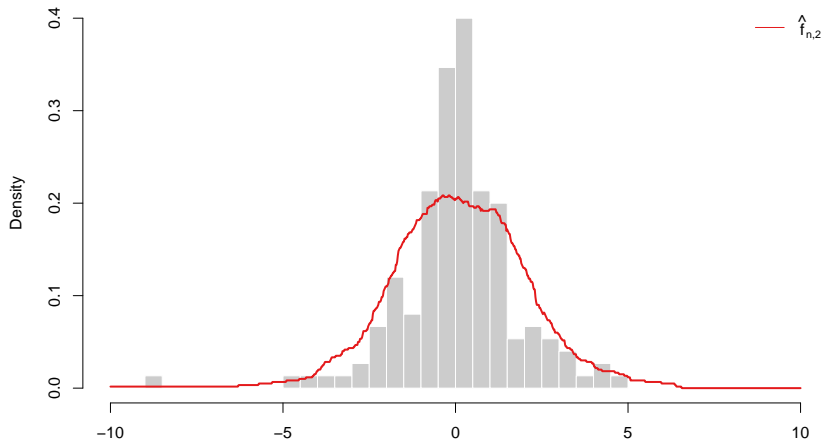
boxcar με παράμετρο εξομάλυνσης  $h = 0.6$



## Παράδειγμα απλοϊκών εκτιμητών: 2

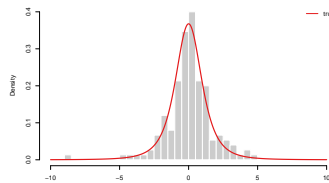
$n = 150$  παρατηρήσεις από  $t_3$

boxcar με παράμετρο εξομάλυνσης  $h = 2$

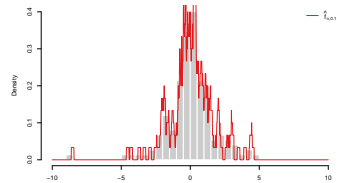


# Παράδειγμα απλοϊκών εκτιμητών: 2

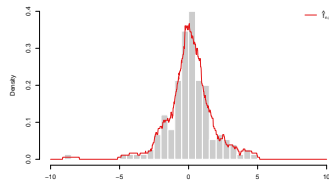
$n = 150$  παρατηρήσεις από  $t_3$



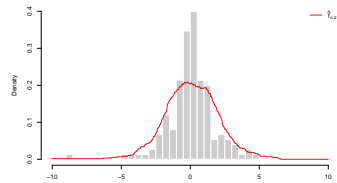
$t_3$  (πραγματική  $f$ )



$h = 0.1$  (undersmoothed)



$h = 0.6$  (όχι και άσχημα)



$h = 2$  (oversmoothed)

# Bias-variance trade-off

- «Μικρό»  $h \Rightarrow$   
μικρή μεροληψία αλλά μεγάλη διασπορά (**undersmoothing**)
- «Μεγάλο»  $h \Rightarrow$ :  
μικρή διασπορά αλλά μεγάλη μεροληψία (**oversmoothing**)
- Πρόβλημα: επιλογή παραμέτρου εξομάλυνσης  $h$
- Στην πράξη θέλουμε να επιλέξουμε μία ενδιάμεση τιμή (ούτε πολύ «μικρή» ούτε πολύ «μεγάλη») ώστε να ισοσταθμίζεται η διασπορά και η μεροληψία του εκτιμητή.

## Ορισμός (Πυρήνας)

Mία πραγματική συνάρτηση  $K(u)$  με τις ιδιότητες

①  $K(u) \geq 0$ , για κάθε  $u \in \mathbb{R}$

②  $\int_{-\infty}^{\infty} K(u)du = 1$

③  $\int_{-\infty}^{\infty} uK(u)du = 0$

④  $\sigma_K^2 = \int_{-\infty}^{\infty} u^2 K(u)du > 0$

ονομάζεται **πυρήνας** (kernel).

- Παρατήρηση: ένας πυρήνας είναι μία συνάρτηση πυκνότητας πιθανότητας (ιδιότητες 1 + 2) η οποία έχει
  - μέση τιμή 0 (ιδιότητα 3)
  - (πεπερασμένη) διασπορά  $\sigma_K^2$  (ιδιότητα 4).

# Παραδείγματα πυρήνων

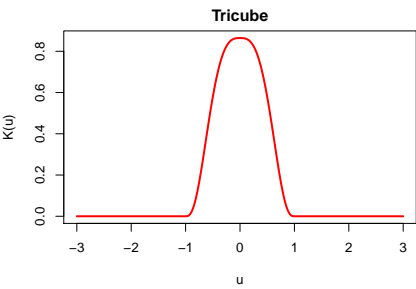
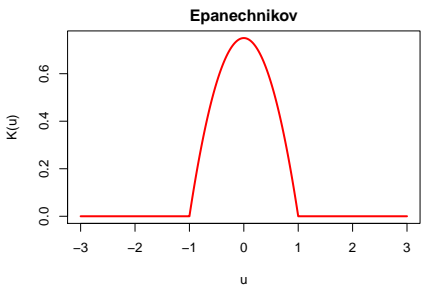
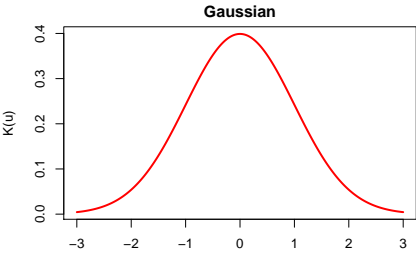
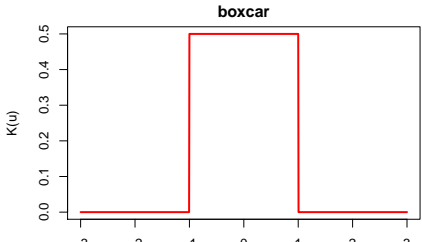
**boxcar kernel:**  $K(u) = \frac{1}{2}I\{|u| \leq 1\}$

**Gaussian kernel:**  $K(u) = \frac{1}{\sqrt{2\pi}}e^{-u^2/2}I\{x \in \mathbb{R}\}$

**Epanechnikov kernel:**  $K(u) = \frac{3}{4}(1 - u^2)I\{|u| \leq 1\}$

**tricube kernel:**  $K(u) = \frac{70}{81}(1 - |x|^3)^3I\{|u| \leq 1\}$

# Παραδείγματα πυρήνων



# Εκτίμηση πυκνότητας με χρήση πυρήνα

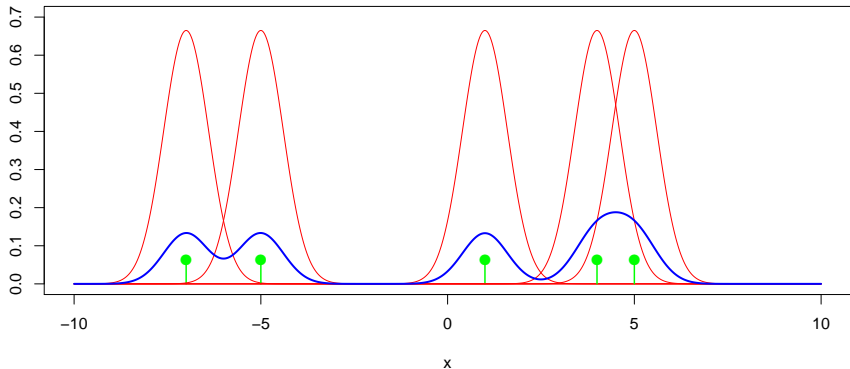
## Ορισμός

Η εκτίμηση μιας συνάρτησης πυκνότητας πιθανότητας με τη χρήση ενός πυρήνα  $K(u)$  δίνεται ως

$$\widehat{f}_{h,n}(x) = \frac{1}{nh} \sum_{i=1}^n K\left(\frac{x - X_i}{h}\right), \quad x \in \mathbb{R}. \quad (15)$$

Η παράμετρος  $h > 0$  λέγεται παράμετρος εξομάλυνσης (*bandwidth*).

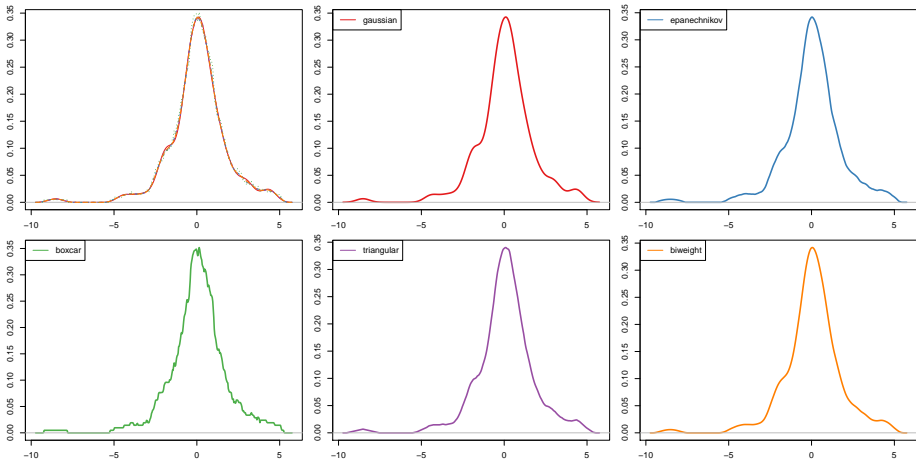
# Παράδειγμα



- Παρατηρηθέντα δεδομένα ( $n = 5$ ).
- Ένας εκτιμητής πυκνότητας  $\hat{f}_{h,n}(x)$  με χρήση Gaussian πυρήνα.
- Για κάθε σημείο  $x$ , η  $\hat{f}_{h,n}(x)$  είναι ο μέσος όρος των πυρήνων με κεντρικό σημείο τα παρατηρηθέντα  $X_i$ .

# Η επιλογή του πυρήνα δεν παίζει μεγάλο ρόλο

- Θεωρητικά ο πυρήνας Epanechnikov είναι ο βέλτιστος, αλλά
- Η διαφορά μεταξύ διαφορετικών επιλογών είναι αμελητέα
- Αυτό που είναι σημαντικό είναι η επιλογή του  $h$



## Ιδιότητες εκτιμητή με χρήση πυρήνα

Από τον ορισμό (15) προκύπτει ότι ο εκτιμητής με χρήση πυρήνα είναι όντως συνάρτηση πυκνότητας πιθανότητας

- Προφανώς  $\widehat{f}_{h,n}(x) \geq 0$  για κάθε  $x \in \mathbb{R}$
- Ισχυεί ότι

$$\begin{aligned}\int_{-\infty}^{\infty} \widehat{f}_{h,n}(x) dx &= \int_{-\infty}^{\infty} \frac{1}{nh} \sum_{i=1}^n K\left(\frac{x - X_i}{h}\right) dx \\ &= \frac{1}{nh} \sum_{i=1}^n \int_{-\infty}^{\infty} K\left(\frac{x - X_i}{h}\right) dx \quad (u = \frac{x - X_i}{h}) \\ &= \frac{1}{nh} \sum_{i=1}^n h \int_{-\infty}^{\infty} K(u) du \quad (\text{ιδιότητα 2}) \\ &= \frac{n}{n} \\ &= 1.\end{aligned}$$

# Μεροληψία και διασπορά

## Πρόταση

Έστω ότι η  $f$  είναι τρεις φορές παραγωγίσιμη, με  $f^{(3)}(x) < M < \infty$  και ότι  $K$  είναι συμμετρικός πυρήνας με διασπορά  $\sigma_K^2$ . Τότε

$$\begin{aligned} |\text{bias } \hat{f}_{h,n}(x)| &\approx \frac{1}{2} h^2 f''(x) \sigma_K^2 \\ \text{Var } \hat{f}_{h,n}(x) &\approx \frac{f(x) \int K^2(u) du}{nh} \end{aligned}$$

- Τα παραπάνω αποτελέσματα ισχύουν προσεγγιστικά
- Υπάρχουν κάποιες επί πλέον μικρότερες ποσότητες<sup>3</sup> στα δεξιά μέλη που αγνοούνται για λόγους ευκολίας
- Παρατηρήστε ότι η μεροληψία της  $\hat{f}_{h,n}$  δεν εξαρτάται από το  $n$
- Καθώς αυξάνει το  $h$  μεγαλώνει η μεροληψία
- Καθώς μικραίνει το  $h$  μεγαλώνει η διασπορά

<sup>3</sup>δες σελίδες 82-83 σημειώσεων Ιωαννίδη

# Συνέπεια εκτιμητή με χρήση πυρήνα

Ο εκτιμητής με χρήση πυρήνα είναι ασυμπιωτικά συνεπής εκτιμητής της  $f(x)$

## Θεώρημα

Έστω ότι  $f(x)$  συνεχής στο  $x$  και  $|f'(x)| < M$ . Τότε για  $h \rightarrow 0$  και  $nh \rightarrow \infty$  καθώς  $n \rightarrow \infty$  ισχύει ότι

$$\hat{f}_{h,n}(x) \xrightarrow{\text{P}} f(x).$$

## Επιλογή του bandwidth ( $h$ )

- Χρησιμοποιούμε το ολοκληρωμένο μέσο τετραγωνικό σφάλμα (1) για την επιλογή του  $h$
- Παραλείποντας ότι δεν εξαρτάται από  $h$  ελαχιστοποιούμε την (2)

$$J(h) := E \left[ \int_{-\infty}^{\infty} \hat{f}_{h,n}^2(x) dx - 2 \int_{-\infty}^{\infty} \hat{f}_{h,n}(x) f(x) dx \right]$$

- Αμερόληπτος εκτιμητής της  $J(h)$  μέσω cross-validation (4)

$$\begin{aligned} \hat{J}(h) &= \int_{-\infty}^{\infty} \hat{f}_{h,n}^2(x) dx - \frac{2}{n} \sum_{i=1}^n \hat{f}_{h,n-1}^{(-i)}(x_i) \\ &\approx \frac{1}{hn^2} \sum_i \sum_j K^* \left( \frac{X_i - X_j}{h} \right) + \frac{2}{nh} K(0) \end{aligned}$$

όπου  $K^*(x) = K^{(2)}(x) - 2K(x)$  και  $K^{(2)}(z) = \int K(z-y)K(y)dy$ .

- Όταν  $K$  είναι ο κανονικός πυρήνας  $\mathcal{N}(0, 1)$ , τότε η  $K^{(2)}(z)$  είναι η συνάρτηση πυκνότητας της  $\mathcal{N}(0, 2)$ .

## Η συνάρτηση density () στην R

Μέσω R χρησιμοποιούμε την εντολή

```
density(x, bw = . . ., kernel = . . .)
```

όπου

- x: τα δεδομένα
- bw: καθορίζει το bandwidth ( $h$ ) και μπορεί να είναι
  - είτε κάποια θετική τιμή (προκαθορισμένο  $h$ )
  - είτε κάποιος χαρακτήρας ("nrd", "ucv", "bcv", ...) που καθορίζει τον τρόπο επιλογής του  $h$  βάσει διαθέσιμων κριτηρίων
- kernel: ο τύπος του πυρήνα με δυνατές επιλογές "gaussian", "epanechnikov", "rectangular", ...

## Επιλογή του $h$ στην R μέσω IMSE

- Η ελαχιστοποίηση του IMSE μέσω της  $\hat{J}(h)$  είναι απαιτητική
- Υπάρχουν τεχνικές για γρήγορο υπολογισμό της  $\hat{J}(h)$  (fast Fourier transform)
- Μέσω R χρησιμοποιούμε την εντολή  
`density(x, bw = "ucv", kernel = ...)`
- όπου
  - ▶ `x`: τα δεδομένα
  - ▶ `kernel`: ο τύπος του πυρήνα με δυνατές επιλογές "gaussian", "epanechnikov", "rectangular", ...

## Παράδειγμα: Bart Simpson

- Εκτίμηση πυκνότητας με χρήση κανονικού πυρήνα και bandwidth  $h = 1$

```
> f <- density(x, bw=0.1, kernel='gaussian')
> print(f)
```

Call:

```
density.default(x = x, bw = 0.1, kernel = "gaussian")
```

Data: x (1000 obs.); Bandwidth 'bw' = 0.1

x	y
Min. :-2.8184	Min. :0.0000001
1st Qu.:-1.0857	1st Qu.:0.0047480
Median : 0.6471	Median :0.0384578
Mean : 0.6471	Mean :0.1441377
3rd Qu.: 2.3798	3rd Qu.:0.3106494
Max. : 4.1126	Max. :0.4575043

## Παράδειγμα: Bart Simpson

- Εκτίμηση πυκνότητας με χρήση κανονικού πυρήνα και bandwidth επιλεγμένου βάσει του IMSE

```
> f<- density(x, bw='ucv', kernel='gaussian')
> print(f)
```

Call:

```
density.default(x = x, bw = "ucv", kernel = "gaussian")
```

Data: x (1000 obs.); Bandwidth 'bw' = 0.05891

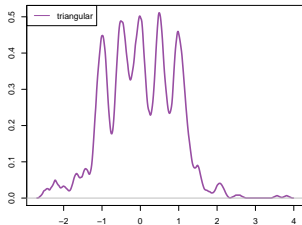
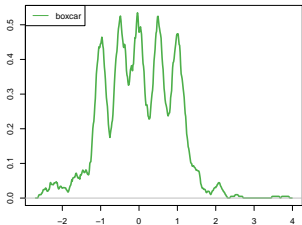
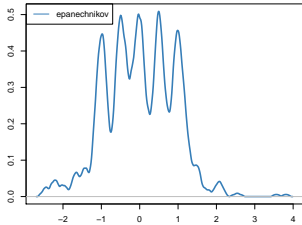
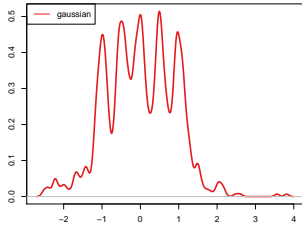
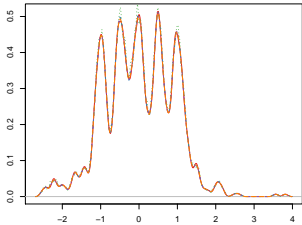
x	y
Min. :-2.6952	Min. :0.000000
1st Qu.:-1.0240	1st Qu.:0.006677
Median : 0.6471	Median :0.049624
Mean : 0.6471	Mean :0.149454
3rd Qu.: 2.3182	3rd Qu.:0.300083
Max. : 3.9893	Max. :0.514404

- $h \approx 0.059$

## Άλλες επιλογές της density()

- Εξ ορισμού, η εκτιμηθείσα πυκνότητα θα υπολογιστεί σε  $M = 512$  σημεία τα οποία ισαπέχουν και καλύπτουν το εύρος του παρατηρηθέντος δείγματος
- Οι τιμές αυτές επιστρέφονται μέσω των εντολών `f$x`
- Οι αντίστοιχες εκτιμήσεις της πυκνότητας επιστρέφονται μέσω της εντολής `f$y`
- Το πλήθος αυτών των σημείων μπορεί να αλλάξει μέσω του ορίσματος `n`, πχ  
`f <- density(x, bw='ucv', kernel='gaussian', n = 1024)`
- Η συνάρτηση έχει μέθοδο `plot()` για την γραφική αναπαράστασή της:  
`plot(f)`

# IMSE: Bart Simpson data ( $n = 1000$ )



## Επιλογή του $h$ μέσω cross-validated πιθανοφάνειας

- Εναλλακτική τεχνική για επιλογή του  $h$
- Κάθε τιμή του  $h$  αντιστοιχεί σε ένα μοντέλο που περιγράφει τα δεδομένα
- Για δοθέν  $h$ , η εκτιμηθείσα πιθανοφάνεια είναι  $L(h) = \prod_{i=1}^n \hat{f}_{h,n}(x_i)$
- Μεγιστοποιείται για  $h = 0$  ára δεν δουλεύει για επιλογή του  $h$
- Έστω  $\hat{f}_{h,n-1}^{(-i)}(x)$  ο εκτιμητής της πυκνότητας στο  $x$  αν αφαιρέσουμε την  $i$ -οστή παρατήρηση,  $i = 1, \dots, n$

# Επιλογή του $h$ μέσω cross-validated πιθανοφάνειας

## Ορισμός

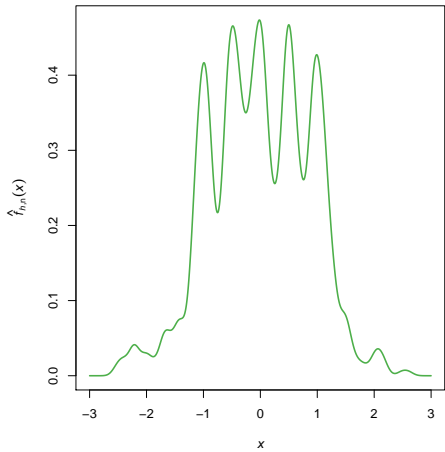
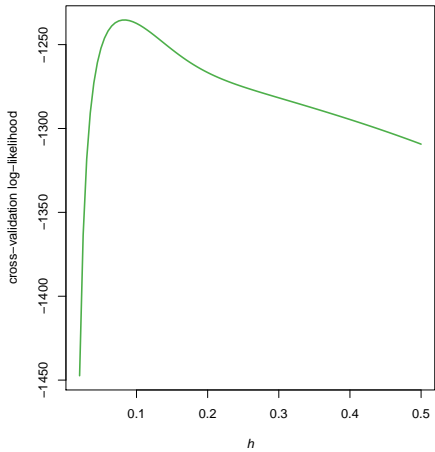
$H$  cross-validated πιθανοφάνεια ορίζεται ως

$$L^{\text{cv}}(h) := \prod_{i=1}^n \hat{f}_{h,n-1}^{(-i)}(x). \quad (16)$$

- Η τιμή του  $h$  που μεγιστοποιεί την (16) είναι η επιλογή μας για το bandwidth βάσει της cross-validated πιθανοφάνειας (cross-validated likelihood – CVL)<sup>4</sup>.
- Στην πράξη η μεγιστοποίηση γίνεται δίνοντας ένα σύνολο εύλογων τιμών για το  $h$  και υπολογίζοντας τον λογάριθμο της (16) για κάθε μία τιμή.
- Το βέλτιστο  $h$  αντιστοιχεί στο μέγιστο μεταξύ όλων των τιμών.

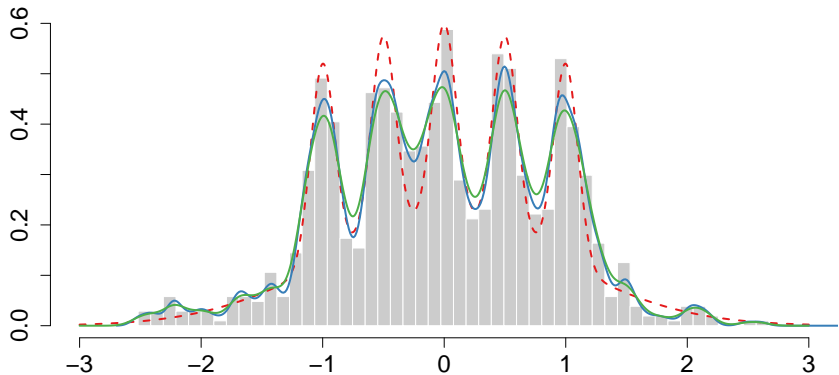
<sup>4</sup>Habbema et al (1974) in Compstat 1974: Proceedings in Computational Statistics

## CVL: Bart Simpson data ( $n = 1000$ )



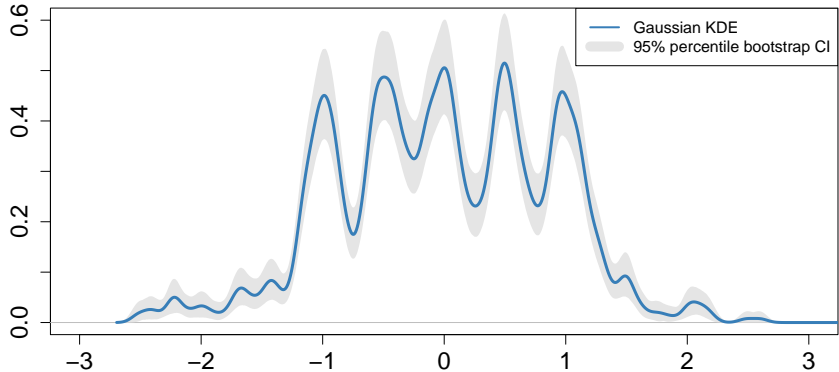
- Αριστερά: Η CVL λογαριθμική πιθανοφάνεια
- Δεξιά: Η εκτίμηση  $\hat{f}_{h,n}(x)$  bandwidth που μεγιστοποιεί την CVL ( $h \approx 0.85$ ) και gaussian kernel

## Παράδειγμα: Bart Simpson ( $n = 1000$ )



- Πραγματική συνάρτηση πυκνότητας  $f(x)$
- Εκτίμηση μέ  
  - ιστόγραμμα με εύρος κελιών  $h = 0.104$  (βέλτιστο βάσει IMSE)
  - κανονικό πυρήνα και bandwidth  $h = 0.059$  (βέλτιστο βάσει IMSE)
  - κανονικό πυρήνα και bandwidth  $h = 0.085$  (βέλτιστο βάσει CVL)

# Bootstrap διάστημα εμπιστοσύνης



- Εκτίμηση με κανονικό πυρήνα και bandwidth  $h = 0.059$
- 95% bootstrap διάστημα εμπιστοσύνης ποσοστιαίων σημείων
- **Μειονεκτήματα**
  - ▶ Τεχνικά, είναι ΔΕ για την  $\bar{f}_h(x) := \hat{E} f_{h,n}(x)$  και όχι για την  $f(x)$
  - ▶ Το Δ.Ε είναι σημειακό (όχι ταυτόχρονο για όλα τα  $x$ )
- **Αλλά:** είναι χρήσιμο διότι μας σκιαγραφεί την αβεβαιότητα που έχουμε για τις πραγματικές κορυφές

**Input** :  $\alpha \in (0, 1)$ : 1–συντελεστής εμπιστοσύνης

$B \in \mathbb{Z}_+$ : αριθμός bootstrap δειγμάτων

$x = (x_1, \dots, x_n)$ : παρατηρηθέντα δεδομένα

$M \in \mathbb{Z}_+$ : ακέραιος που θα καθορίσει ένα σύνολο τιμών  $(t_1, \dots, t_M)$  στις οποίες

θα υπολογιστεί η  $\hat{f}_{h,n}(\cdot)$

$h > 0$ : bandwidth.

**Output:**  $C : M \times 2$  πίνακας με το άνω και κάτω όριο του ΔΕ στο  $t_m$ ,  $m = 1, \dots, M$

### Step 1: Bootstrap sampling

**for**  $b = 1$  **to**  $B$

#### Step 1.1 sampling:

| Λάβε τυχαίο δείγμα  $y$  με επανάθεση από το  $x$ , μεγέθους  $n$

#### Step 1.2 Για κάθε $t_m$ , υπολόγισε την εκτίμηση της πυκνότητας δοθέντος $y$ :

| **for all**  $m \in \{1, \dots, M\}$ :  $\theta_{b,m}^* = \hat{f}_{h,n}^*(t_m)$ ;

**endfor**

### Step 2: $100(1 - \alpha)\%$ percentile bootstrap CI

**for**  $m = 1$  **to**  $M$

|  $C_{m,1} = \alpha/2$  – κάτω ποσοστιαίο σημείο του  $\theta_{1:B,m}^*$

|  $C_{m,2} = 1 - \alpha/2$  – κάτω ποσοστιαίο σημείο του  $\theta_{1:B,m}^*$

**endfor**

END of algorithm

## Παρατηρήσεις για επιλογή μέσω IMSE και CVL

- Γενικά, δεν υπάρχει βέλτιστη μέθοδος
- Και οι δύο τεχνικές έχουν μειονεκτήματα
- Η επιλογή μέσω της ελαχιστοποίησης του IMSE μέσω cross-validation έχει υψηλή μεταβλητότητα και συχνά καταλήγει σε undersmoothing
- Η επιλογή μέσω μεγιστοποίησης της CVL είναι ευαίσθητη σε ακραίες παρατηρήσεις και βαριές ουρές της πραγματικής  $f$

## Ιστόγραμμα ή χρήση πυρήνα;

- Ασυμπτωτικά αποτελέσματα εξασφαλίζουν ότι η χρήση πυρήνα είναι προτιμότερη από την εκτίμηση μέσω ιστογράμματος
- Για το ιστόγραμμα ισχύει ότι το IMSE του εκτιμητή με βέλτιστο εύρος κελιών συγκλίνει στο 0 με ρυθμό της τάξης  $n^{-2/3}$
- Ενώ με χρήση πυρήνα ισχύει ότι το IMSE του εκτιμητή με βέλτιστο bandwidth συγκλίνει στο 0 με ρυθμό της τάξης  $n^{-4/5}$ , δηλαδή πιο γρήγορα από ό,τι το ιστόγραμμα
- Δες σελ 74 και 84 σημειώσεων Ιωαννίδη για περισσότερες λεπτομέρειες.